





Monitoreo fotoacústico de plántulas de banano Gros Michel infectadas con *Fusarium oxysporum* f.sp *cubense* Raza 1

Autores: Fernando Gordillo-Delgado, Jhon Fredy Alvarez-Gonzalez & Sara Lizeth Cuellar Ospina. Grupo de investigación en ciencia aplicada para el desarrollo de la ecorregión.







Tomado de: Pixabay







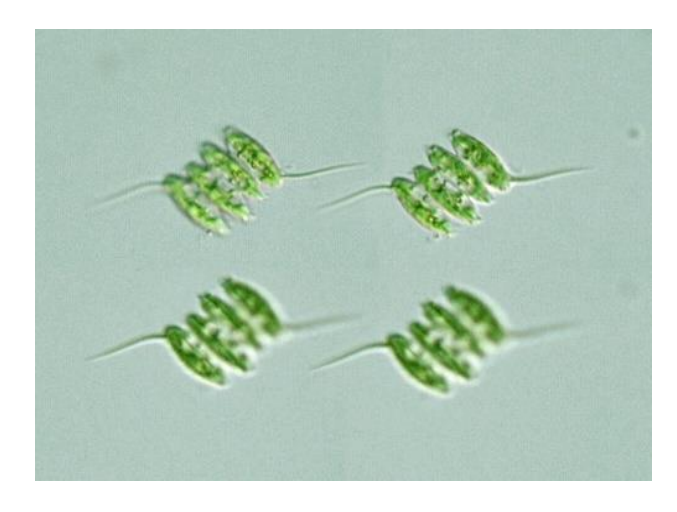
Técnica fotoacústica

- Investigación básica y aplicada en biología vegetal
- Estudio de características espectroscópicas, Parámetros térmicos y fotosintéticos.
- Sencillez de medición, carácter no invasivo, bajo costo y detección in vivo e in situ

Herramienta con potencial para el diagnóstico y seguimiento de la actividad fotosintética en cultivares de interés.



(Calderón et al., 2014)



(Szurkowski et al., 2001).





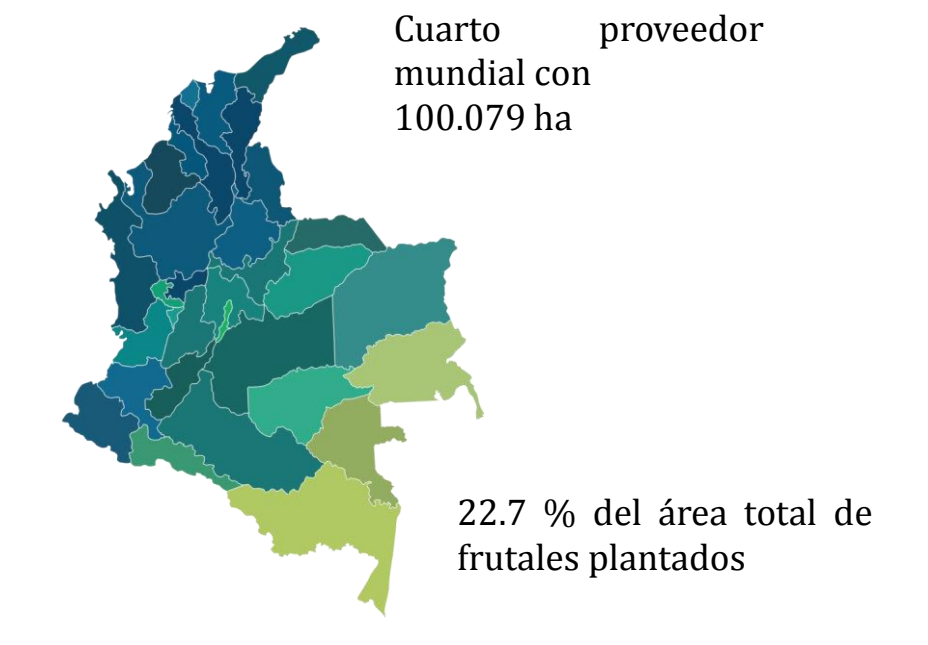




Especie Musa acuminata Grupo AAA Cultivar Gros Michel Origen Sureste Asiático

- 5to producto agrícola
- Seguridad alimentaria
- Generación de ingresos y empleos





(FAO 2019, FAO 2020 & DANE 2019)









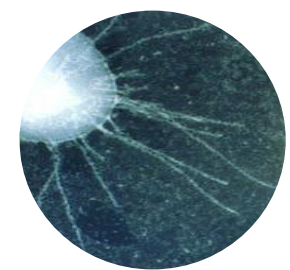
Enfermedades y plagas



Mycosphaerella fijiensis

Cosmopolites surdidus





Ralstonia solanacearum

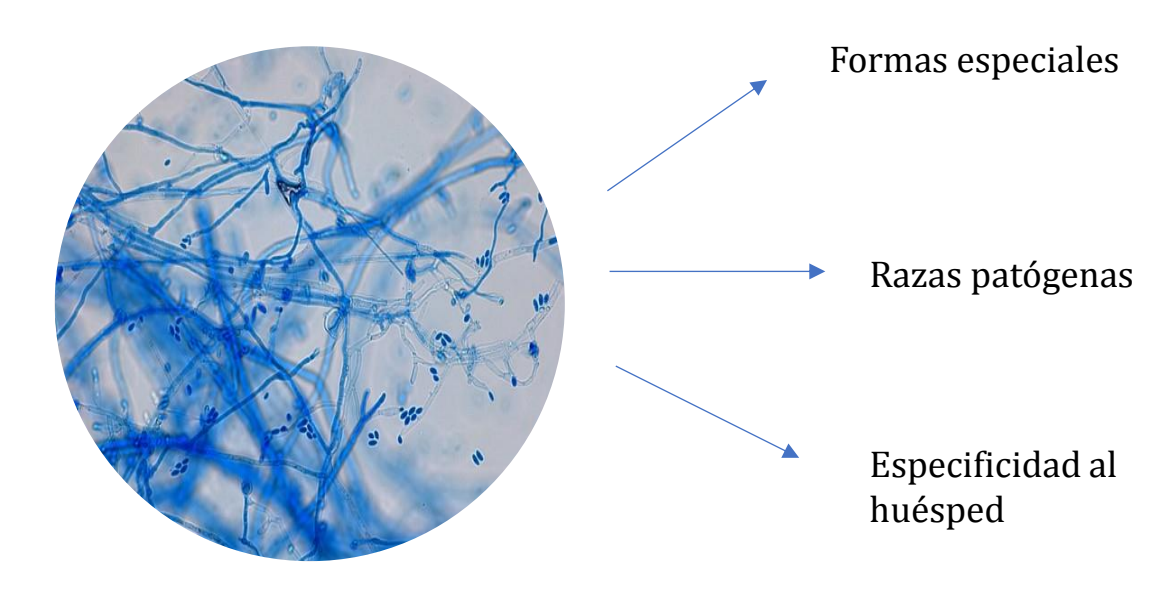
Imágenes tomadas de: Pixabay

División: Ascomycota

Clase: Sordariomycetes

Orden: Hypocreales Familia: Nectriaceae Género: *Fusarium*

Especie: *F. oxysporum*



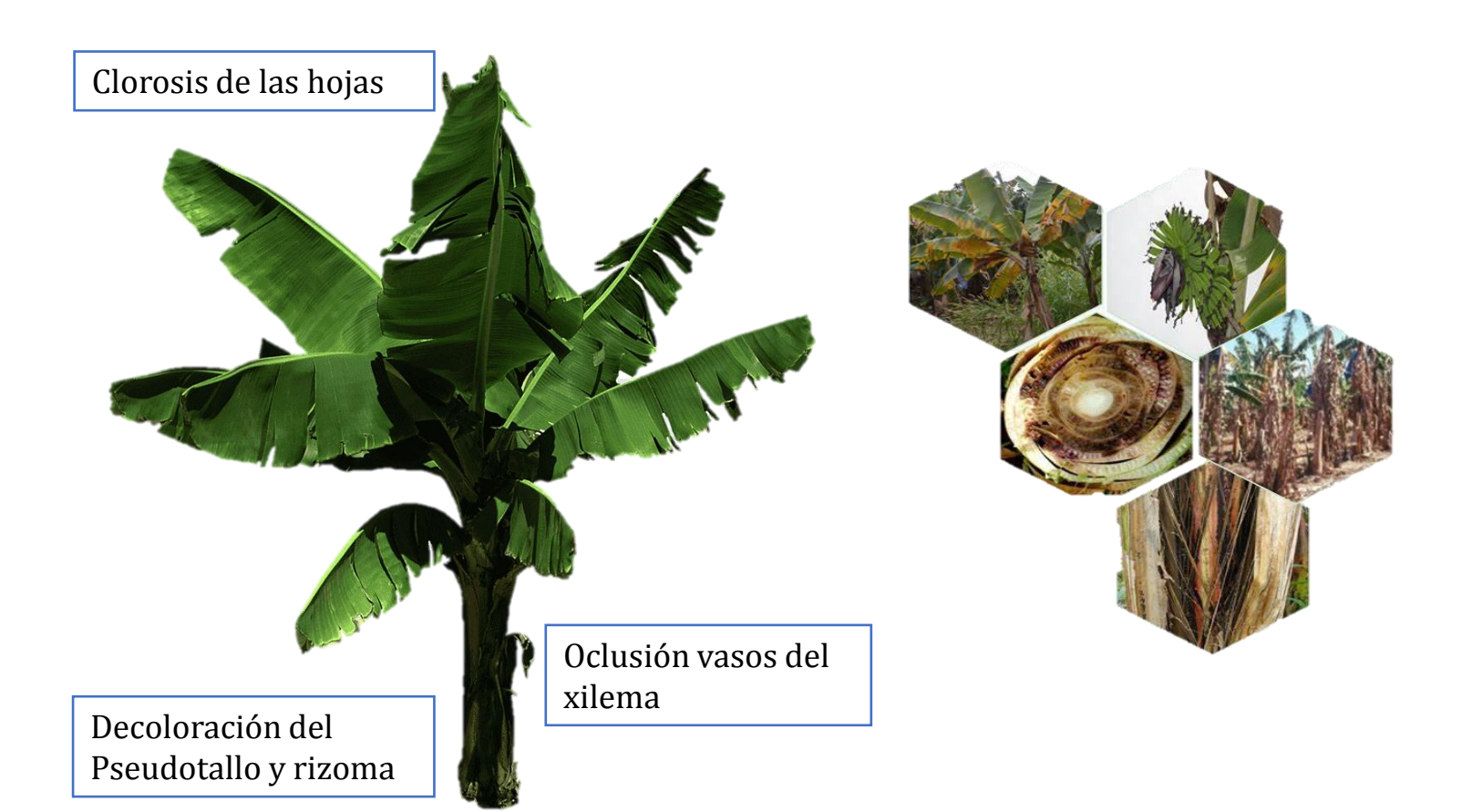
Fusarium oxysporum f sp. Cubense raza 1

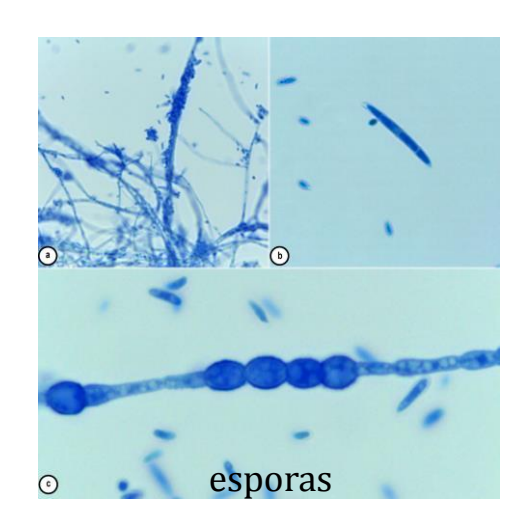
(Lu et al., 2013)











- Control químico
- Controladores biológicos
- Enmiendas orgánicas
- Rotación de cultivos y cuarentena

Modelo de estudio en fitopatología y un desafío para la investigación agronómica

Inicia en las raíces

Imágenes tomadas de: Pixabay

(Li et al., 2011; Ghag et al., 2015; Raza et al., 2017; Marín-Ortiz et al., 2020)







Objetivo

Analizar el comportamiento de la razón de evolución de oxígeno de plántulas de banano Gros Michel durante las etapas de la infección por Foc.









Material vegetal



Condiciones

- Sustrato
- Hojas
- Riego



Siembra

- Bolsa
- Esterilización



Grupos

- 14 Sano
- 14 Infectado

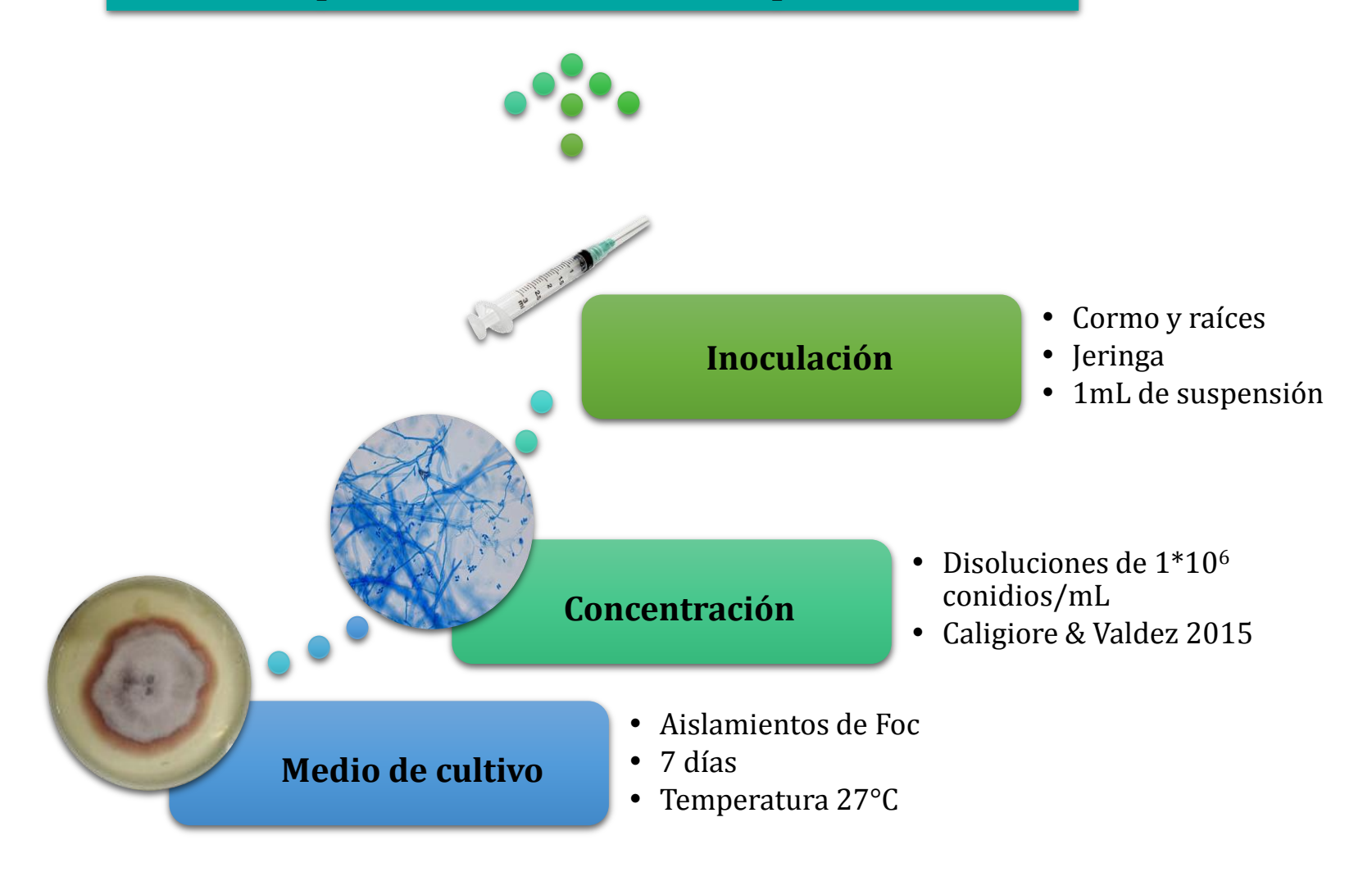
- 28 plántulas
- In vitro
- 4 semanas







Suspensión e inoculación en plántulas

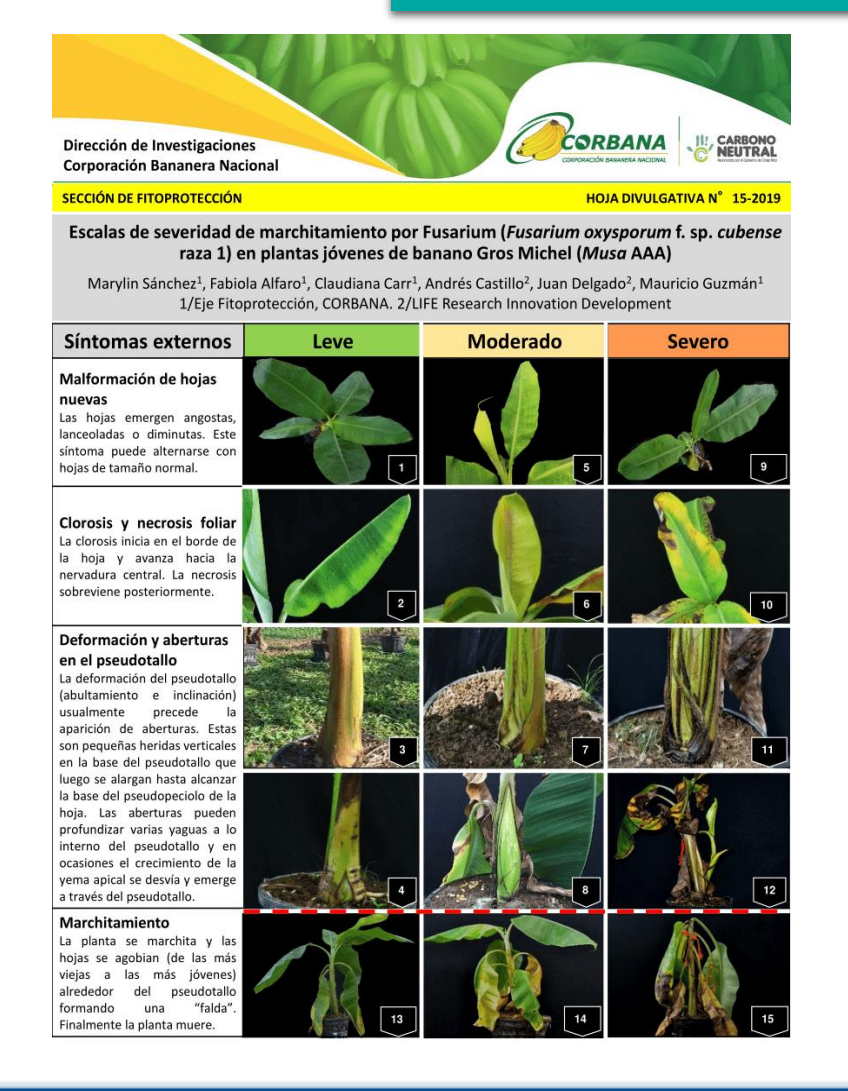


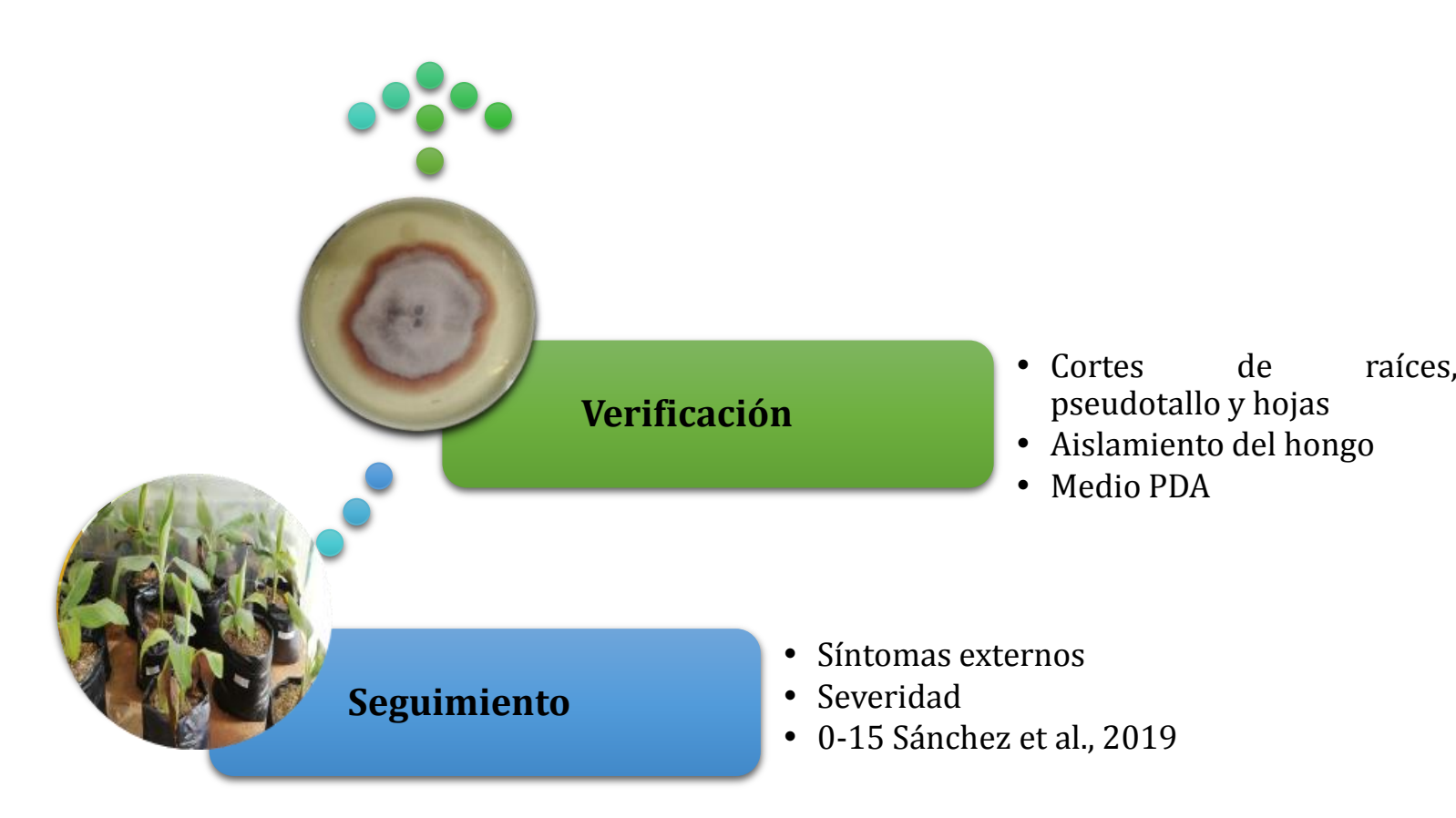






Verificación de la infección y seguimiento de la progresión de la marchitez



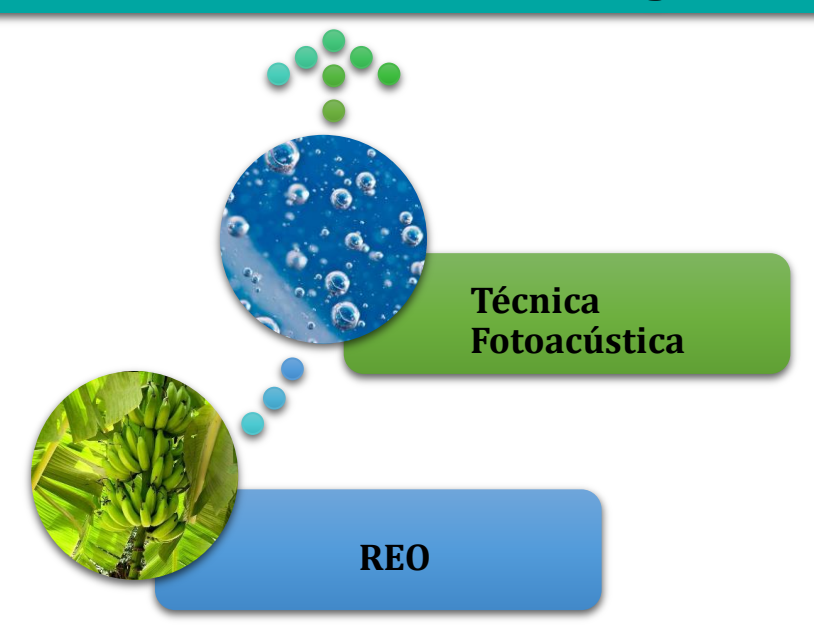


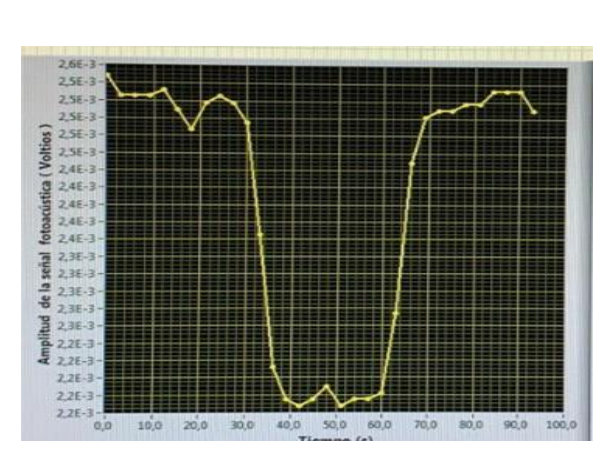






Razón de evolución de oxígeno





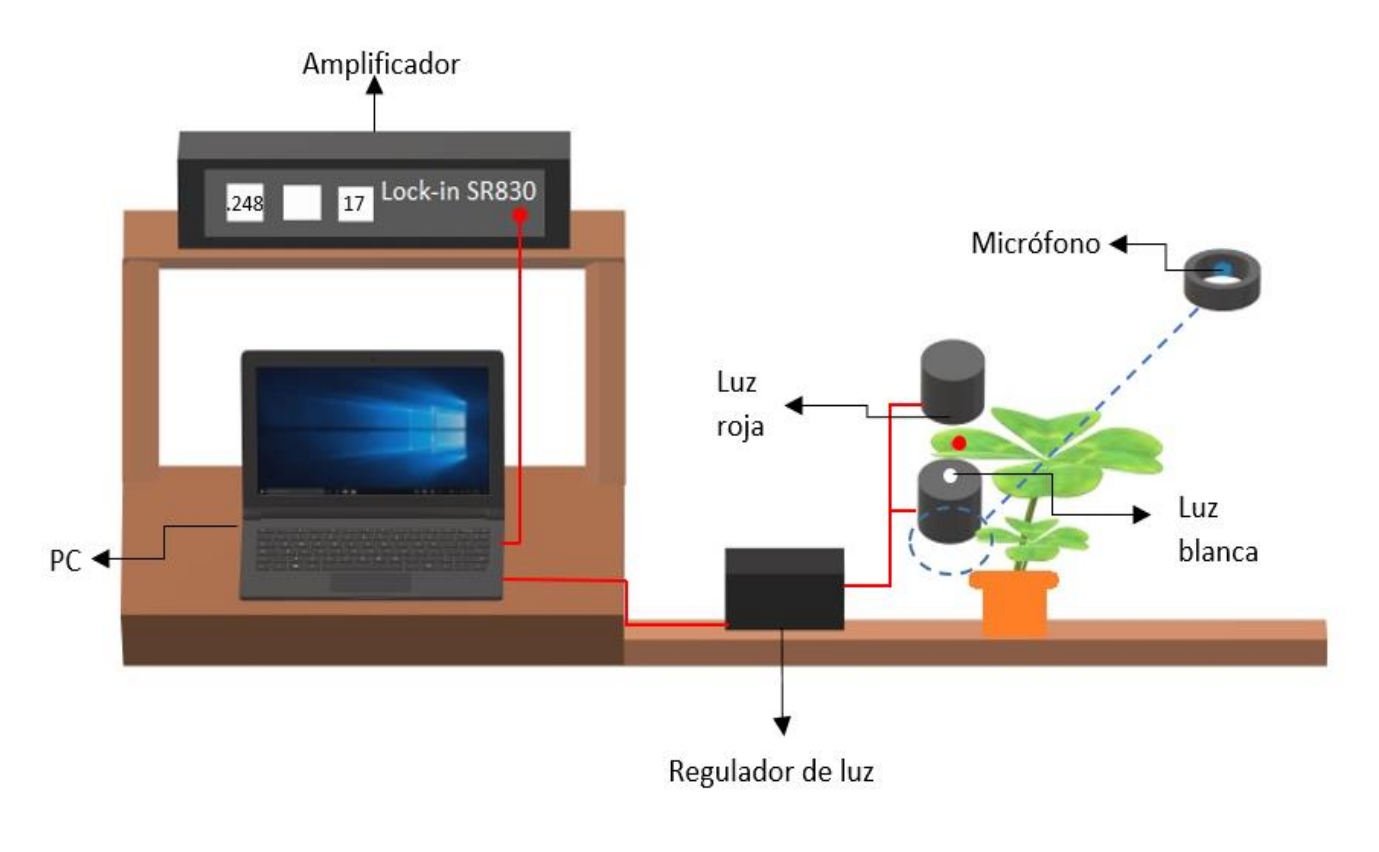
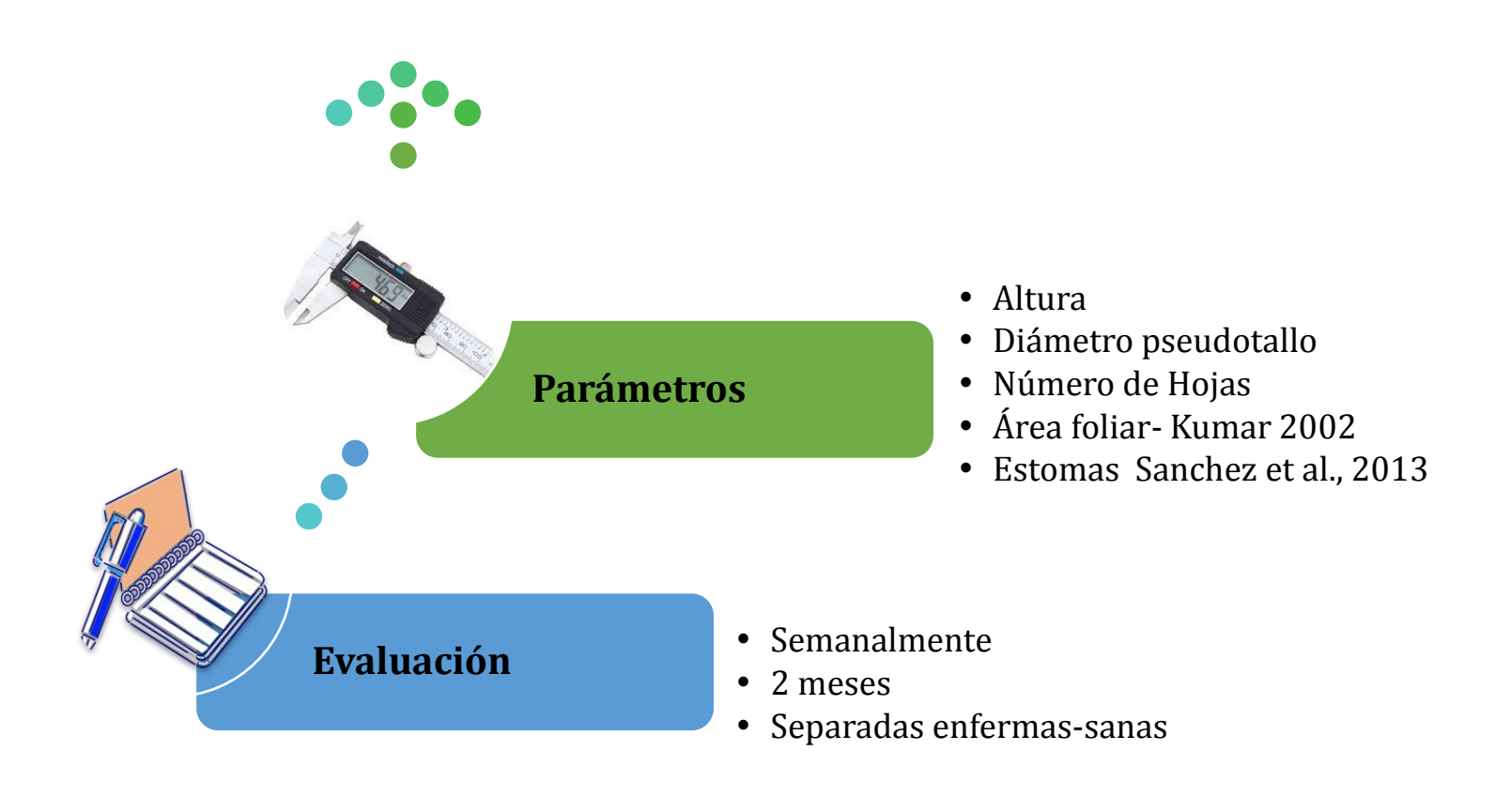


Figura 1. Esquema de medición de la REO, utilizando una celda FA cerrada



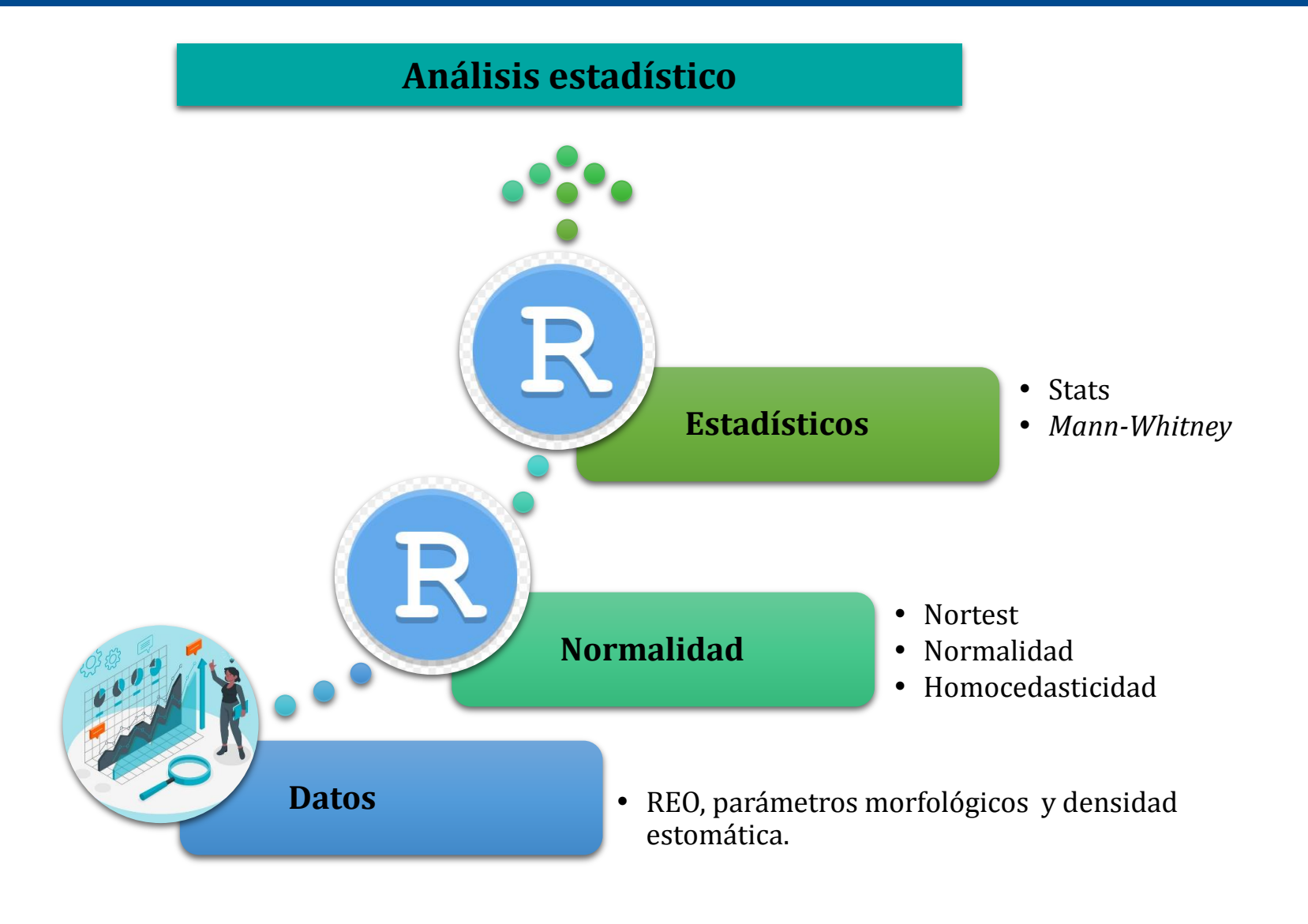


Monitoreo del crecimiento















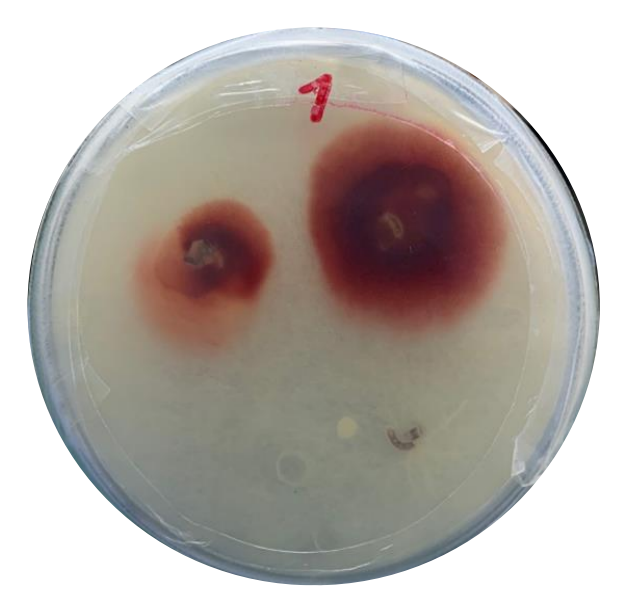
Verificación de la infección y seguimiento de la progresión de la marchitez



Planta con síntomas de infección por FOC



Corte de Pseudotallo con presencia de FOC



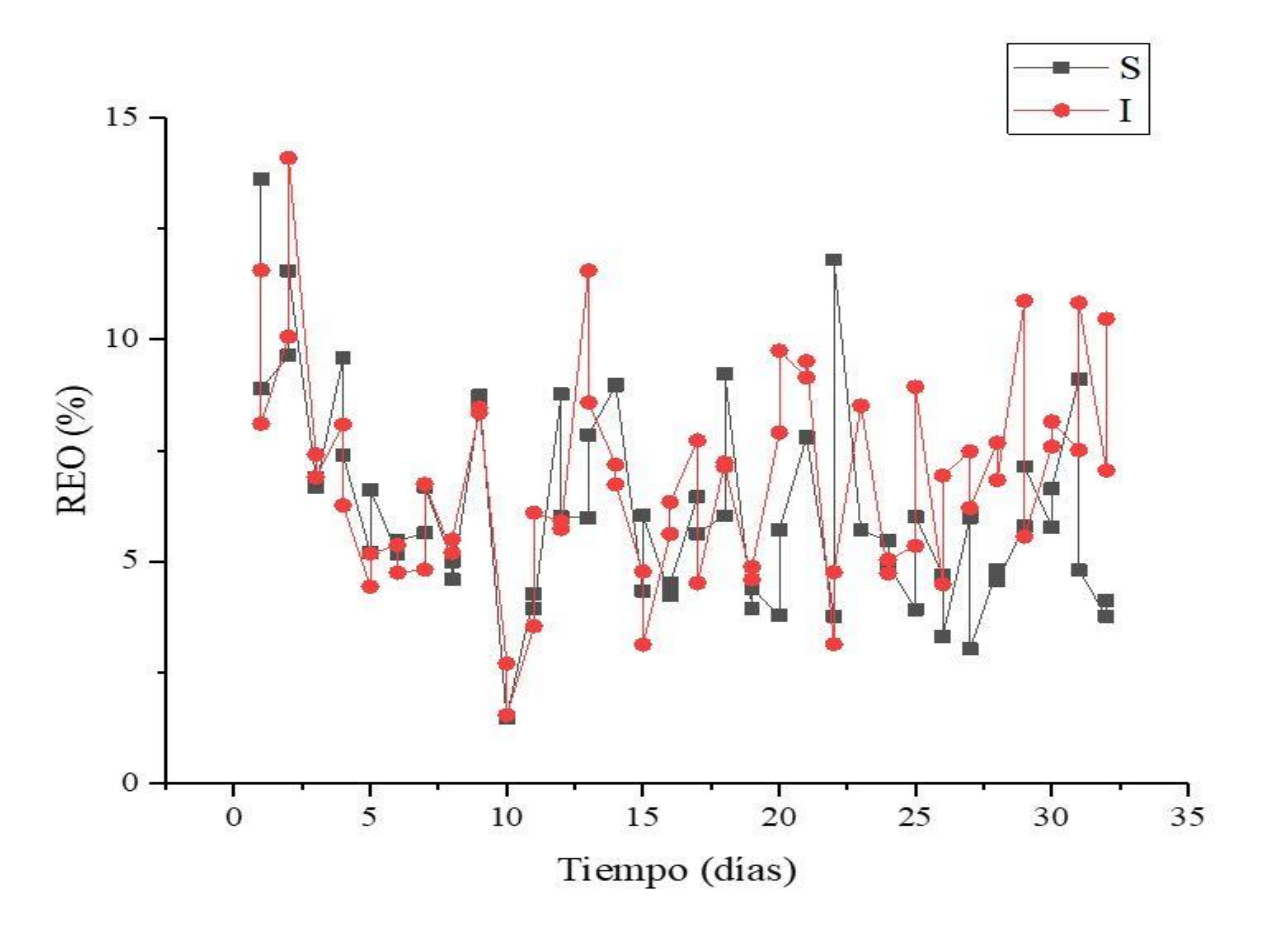
Cultivo de FOC en caja de Petri aislado del corte

(Figueroa, 2020)









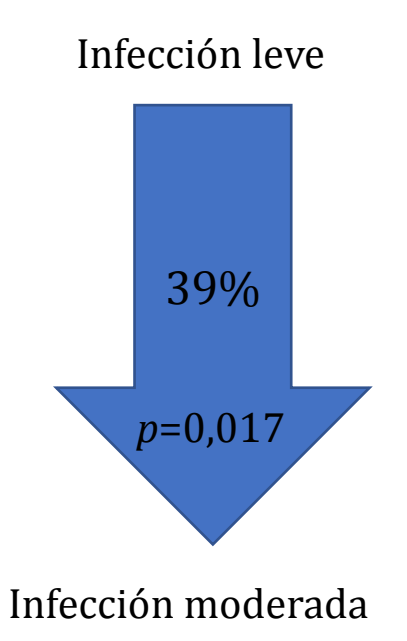


La actividad fotosintética del grupo infectado puede haber sido influenciada por la presencia del hongo en los tejidos vegetales de las plantas

Figura 2. Reo en función del tiempo de observación, correspondiente al grupo sano(cuadrado negro) y grupo infectado (círculos rojos)







REO

Infección Severa



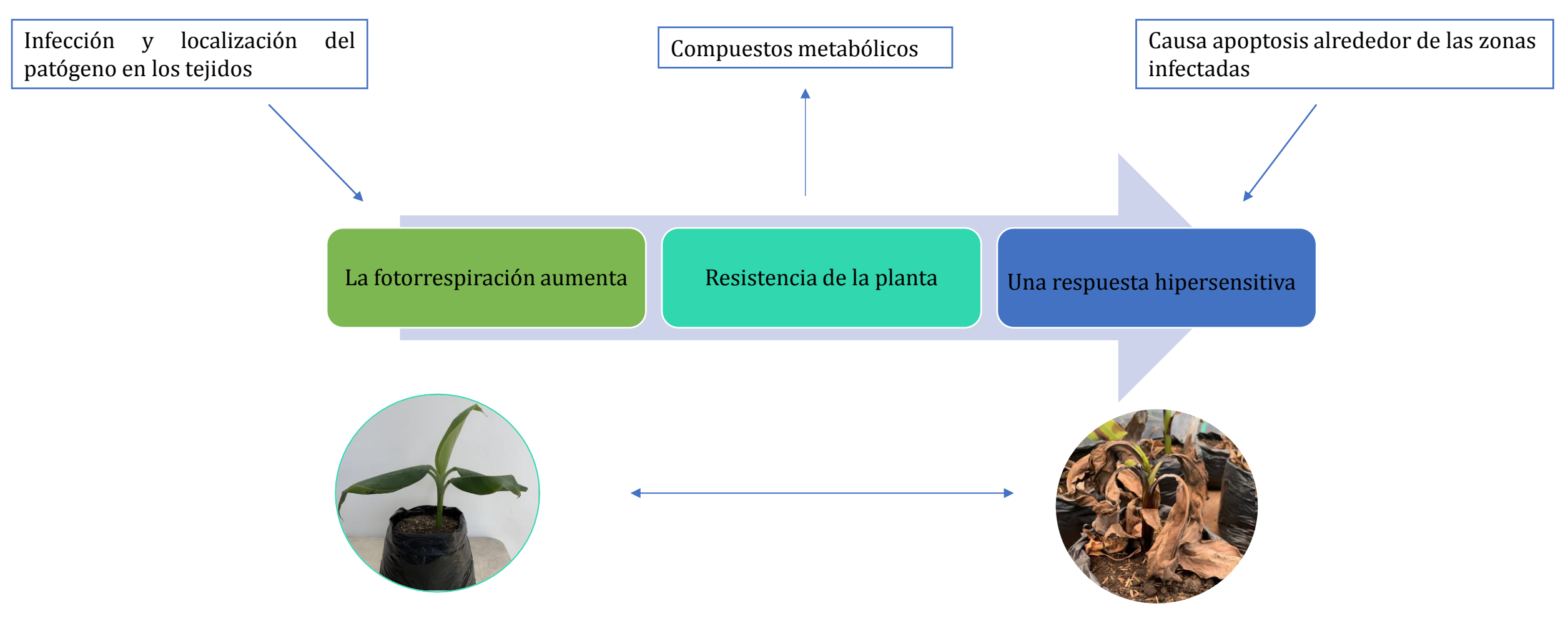
Infección moderada

Indicio de que la técnica FA puede detectar cambios de la REO, asociados con los diferentes momentos de la marchitez producto de la infección por Foc.









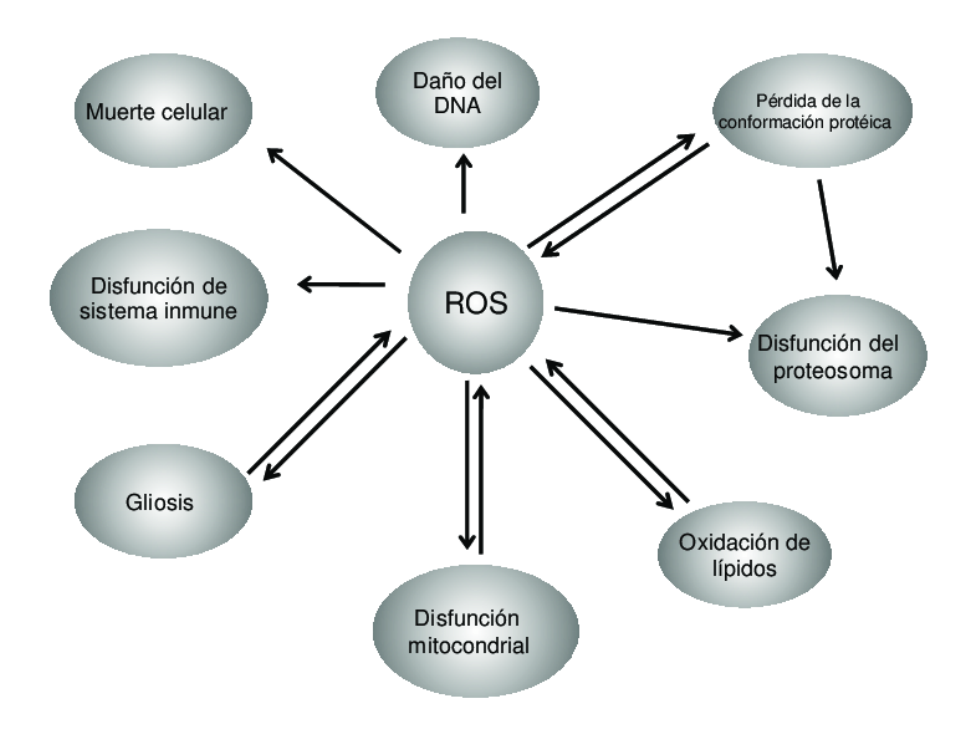
(Dong et al., 2016)











Especies reactivas del oxígeno

- Producción de enzimas para estabilizar compuestos como superóxidos y radicales OH-
- Mayor producción de antioxidantes
- Conservación de la homeostasis

Pérdida del poder de enfriamiento que induce la transpiración, proceso en el que crece la liberación de gases.





(Segura, 2019)







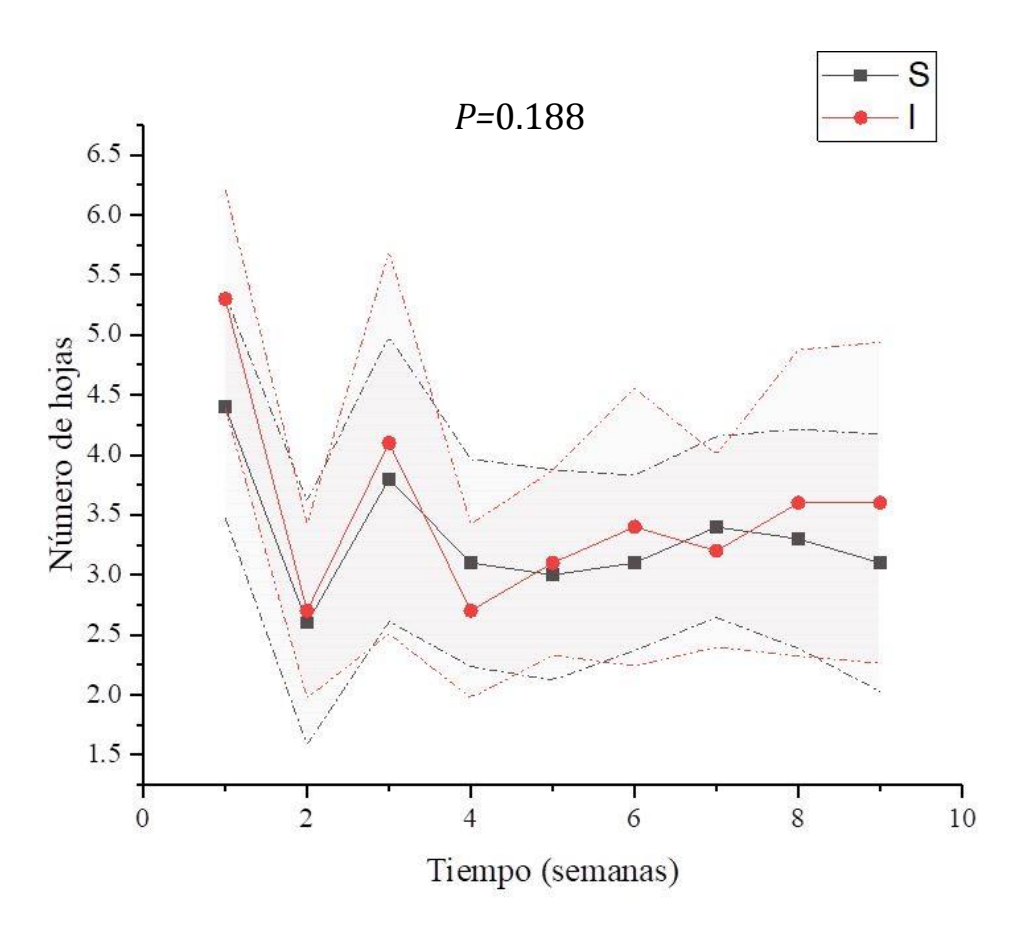


Figura 3. Número de hojas en función del tiempo de observación, del grupo sano y grupo infectado.

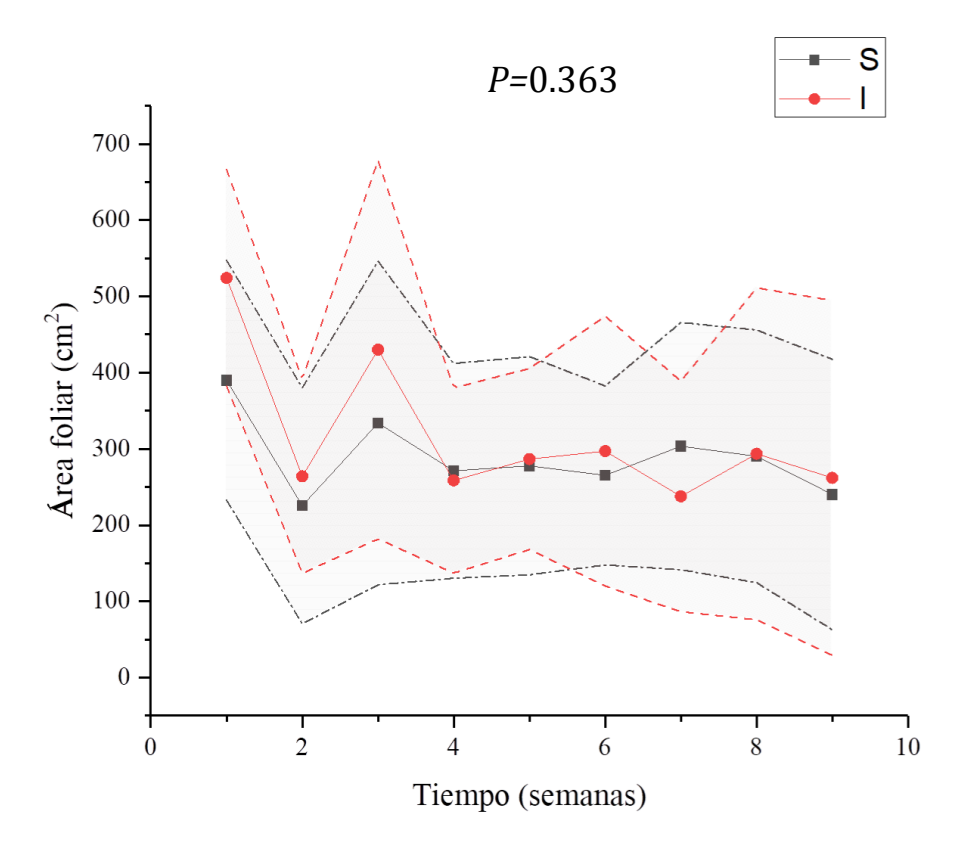


Figura 4. Área foliar en función del tiempo de observación, del grupo sano y grupo infectado.





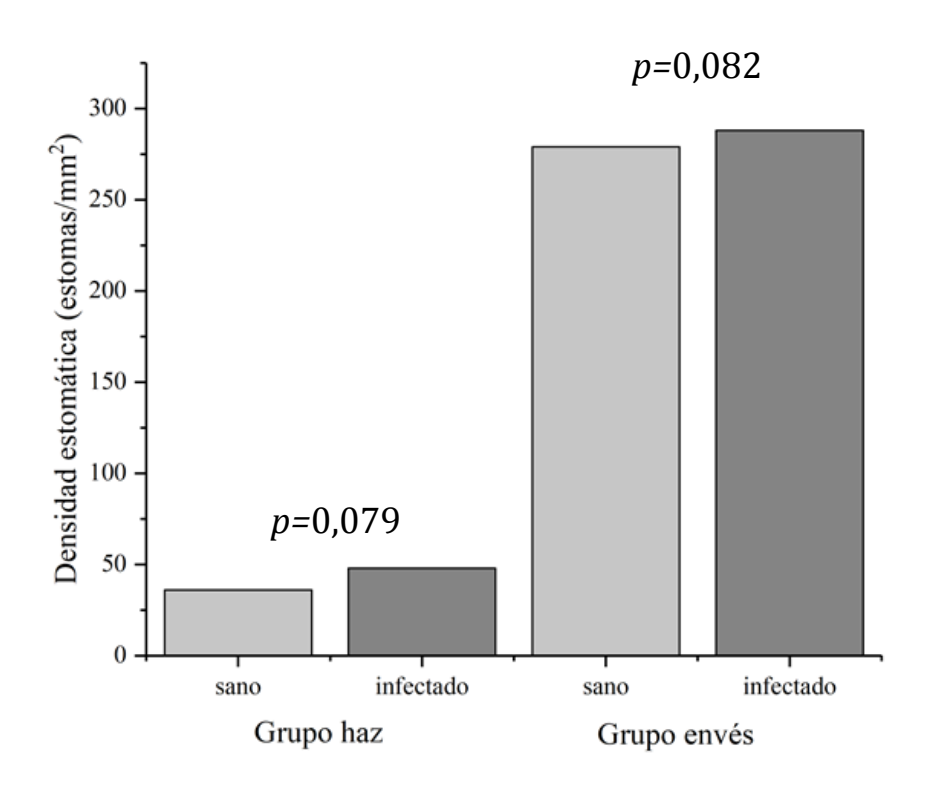


Figura 5. Densidad estomática del envés y el haz de la hoja de los grupos al finalizar el estudio, grupo sano y grupo infectado

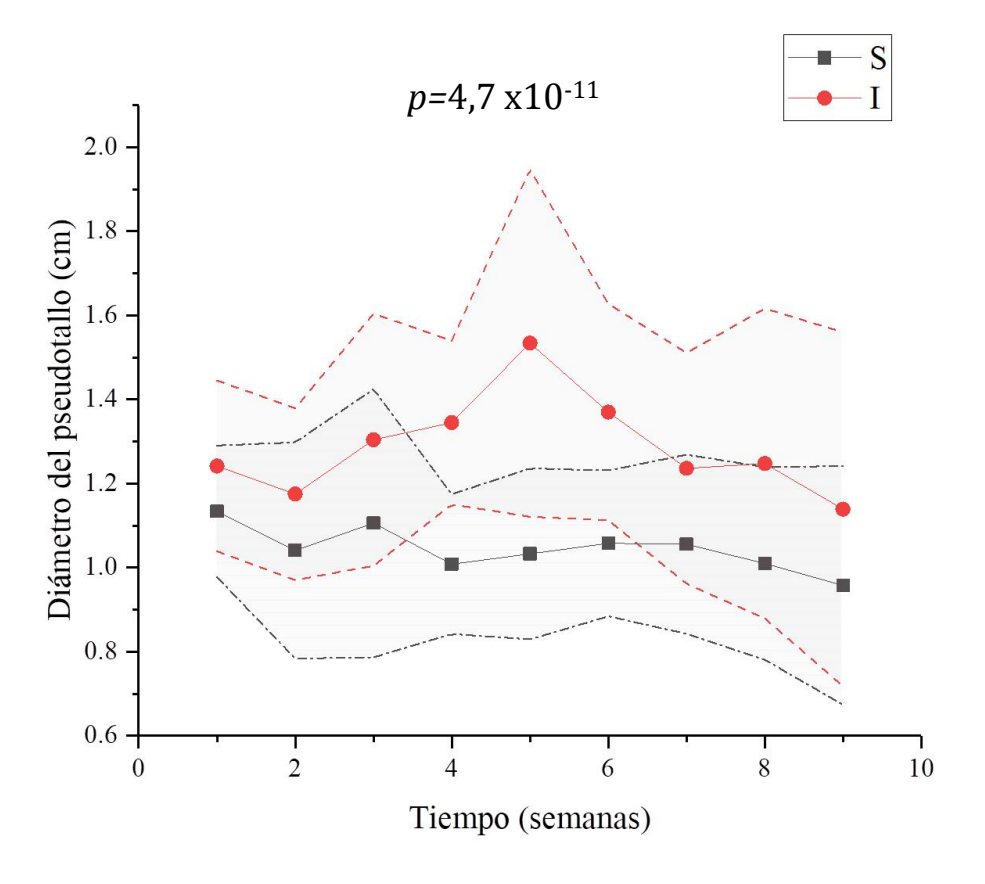


Figura 6. Comportamiento del diámetro del pseudotallo durante el tiempo de medición, del grupo sano y grupo infectado.





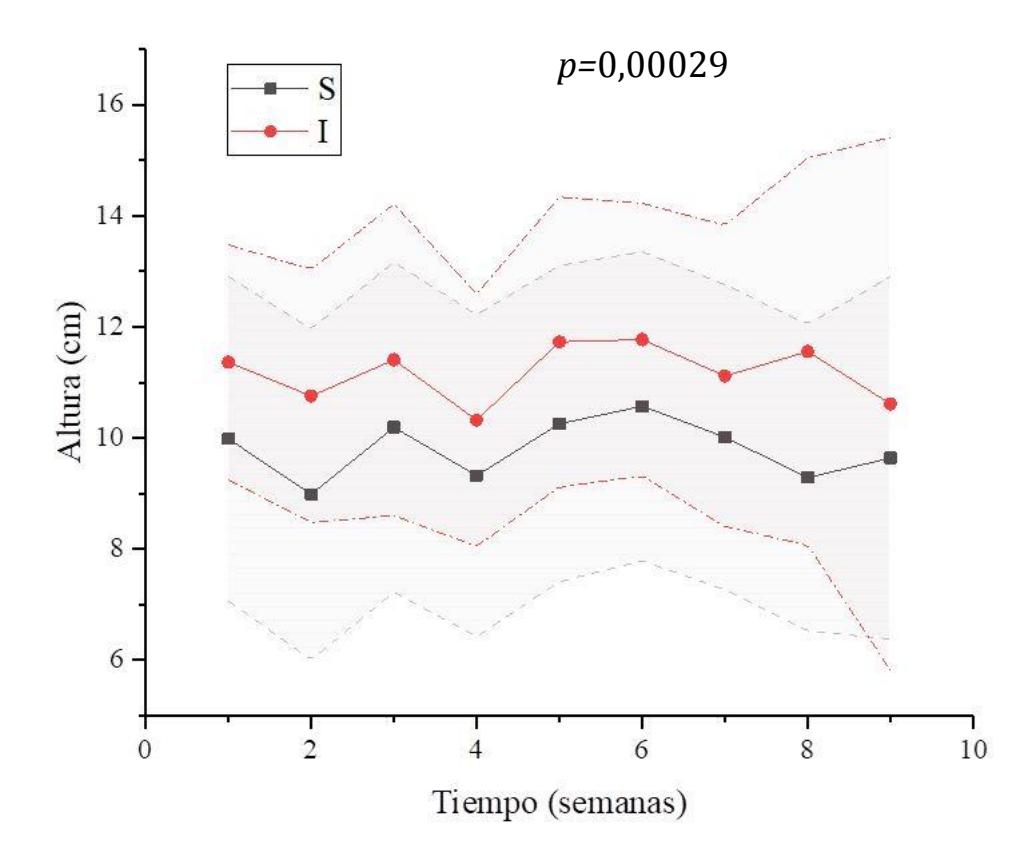


Figura 7. Altura de las plantas en función del tiempo de observación, del grupo sano y grupo infectado.

De acuerdo son los datos morfológicos, tomados durante el tiempo de seguimiento, se puede afirmar que la infección no afectó drásticamente el crecimiento de las plantas





Conclusión

Empleando la técnica FA, se hallaron cambios en el comportamiento de la REO de plantas de banano Gros Michel que pueden estar relacionados con la escala de severidad de la marchitez causada por *F. oxysporum*. Estos podrían ser de utilidad en la búsqueda de un procedimiento de detección temprana del hongo y proporcionan información que contribuye a la validación del uso de esta técnica, que podría considerarse en el campo de la fitopatología, usando como base procesos fotosintéticos de la planta; sin embargo es necesario ampliar la información, incrementando el número de muestras y estudiando paralelamente el ciclo de infección del hongo, teniendo en cuenta no solo los síntomas externos en las plantas, sino también la producción de enzimas relacionadas.







Agradecimientos

Agradecemos a la Universidad del Quindío por su apoyo financiero a través del proyecto 916. Este trabajo fue parcialmente financiado por el programa OMICAS: Optimización Multiescala In-silico de Cultivos Agrícolas Sostenibles (Infraestructura y validación en Arroz y Caña de Azúcar), anclado en la Pontificia Universidad Javeriana de Cali y financiado dentro del Ecosistema Científico Colombiano por El Banco Mundial, el Ministerio de Ciencia, Tecnología e Innovación de Colombia, el Ministerio de Educación de Colombia, el Ministerio de Industria y Turismo de Colombia y el ICETEX, bajo la subvención FP44842-217-2018 y OMICAS Award ID: 792-61187.





Referencias

- 1. Calderón, A., Cardona, A., Nogal, U., Juárez Gracia, A.G., Marín, E & Muñoz Hernández, R.A. Photoacoustic analysis of the ultrasonic irradiation effect in the photosynthetic activity in aquatic lirium plants, Applied Radiation and Isotopes. Vol 83. Pages 268-271.-2014.
- 2. Szurkowski, J., Baścik-Remisiewicz, A., Matusiak, K & Tukaj Oxygen, Z. Evolutión and photosynthetic energy storage during the cell cycle of green alga Scenedesmus armatus characterised by photoacoustic spectroscopy J. Plant Physiol. pag. 1061-1067-2001.
- 3. FAO.Food outlook-Bianual report on global food market-november. 2019.
- 4. DANE. Boletín técnico encuesta agropecuaria (ENA) primer semestre. 2020.
- 5. FAO. Análisis del mercado del banano: resultados preliminares 2019 Roma. 2020.
- 6. Lu, Y., Liao, D., Pu, J., Oi, Y & Xie, Y. Proteome analysis of resistant and susceptible Cavendish banana roots following inoculation with Fusarium oxysporum f.sp. cubense. PMPP. 2013.
- 7. Li, C., Chen, C., Zuo, C., Sun, Q., Ye, Q., Yi, G & Huang, B. The use of GFT_Transformed isolates study infection of bananas with Fusarium oxysporum f. sp. cubense race 4. 2011.
- 8. Ghag, S., Shekhawat, U & Ganapathi T. Fusarium wilt of banana: biology epidemiology and management. International Journal of Pest Management. vol 61, 2015.
- 9. Raza, W., Ling, N., Zhang, R., Huang, Q., Xu, Y & Shen, Q. Success evaluation of the biological control of Fusarium wilts of cucumber, banana, and tomato since 2000 and future research strategies. Critical Review in Biotechnology. 2017.
- 10. Marin-Ortiz, J., Gutierrez-Toro, N., Botero-Fernandez, V & Hoyos-Carvajal, L. Linking physiological parameters with visible/near-infrared leaf reflectance in the incubation period of vascular wilt disease. Saudi Journal of Biological Sciences. Vol 27. Page 88-99, 2020.
- 11. Caligiore-Gei Pablo & Valdez Jorge. Adjustment of a rapid method for quantification of Fusarium spp. spore suspensions in plant pathology. Revista Argentina de Microbiología, 47(2), 152-154, 2015.
- 12. Sanchez Marilyn, Alfaro Fabiola, Carr Claudia, Castillo Andres, Delgado Juan, Guzman Mauricio. Escalas de severidad de marchitamiento por Fusarium (Fusarium oxysporum f. sp. cubense raza 1) en plantas jóvenes de banano Gros Michel (Musa AAA). Dirección de investigaciones corporación bananera Nacional-Sección fitoprotección, Hoja divulgativa 15-2019.
- 13. Kumar N, Krishnamoorthy L, Soorianathasundharam K. Nuevo factor para estimar el área foliar total en banano. INFOMUSA 11("):42-43, 2002.
- 14. Sanchez C, Fischer G & Sanjuanelo D. Stomatal behavior in fruits and leaves of the purple passion fruit (Pasiflora edulis) and fruits and cladodes of the yellow pitaya [Hylocereus megalanthaus (K. Schum. Ex Vaupel) Ralf Bauer]. Agronomia Colombiana, 31(1),38-47, 2013.
- 15. Figueroa Vasconez Wilfrido Gabriel. Infeccion de Furarium oxysporum f.sp. cubense raza 1 en el cultivr de banano Gros Michel (Musa AAA). Proyecto de investigación, Universidad Técnica Estatal de Quevedo. 2020.
- 16. Dong Xian, Wang Min, Ling Ning, Shen Oirong & Guo Shiwei. Potential role of photosynthesis-related factors in banana metabolism and defense against Fusarium oxysporum f. sp. cubense. 2016.
- 17. Segura, M. A. ¿Cómo Fusarium oxysporum f. sp. cubense (Foc), daña los tejidos del banano y qué mecanismos de defensa existen en las plantas resistentes para evitarlo? Serie Frutales, Núm, 58. Artículos técnicos de INTAGRI. México. 17p. 2019.





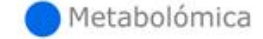






















Aliados



































Apoyan









